

陈丽君, 刘明骞, 廖柏勇,等. 苦楝 SRAP-PCR 反应体系的建立及优化[J]. 华南农业大学学报,2015,36(3):104-108.

# 苦楝 SRAP-PCR 反应体系的建立及优化

陈丽君1,2,刘明骞1,廖柏勇1,邓小梅1,陈晓阳1

(1 广东省森林植物种质创新与利用重点实验室/华南农业大学 林学院,广东 广州 510642; 2 华南农业大学 教学科研基地管理中心,广东 广州 510642)

摘要:【目的】应用 SRAP 技术对苦楝 Melia azedarach 遗传多样性、种质资源鉴定等开展研究,对苦楝 SRAP-PCR 体 系中的模板 DNA、dNTPs、Mg2+、引物和 Taq DNA 聚合酶 5 个组分浓度进行优化,建立适合苦楝的 SRAP-PCR 反应 体系.【方法】采用单因素试验对反应体系中的5个因素分别设置8个浓度梯度水平,确定浓度范围后进行L16(45) 正交试验设计,并对结果进行打分,确定优化体系.【结果和结论】SRAP 对苦楝 DNA 浓度的要求不高,有一个较宽 的浓度适宜范围; dNTPs 在  $0.1 \sim 0.2 \text{ mmol} \cdot L^{-1}$  范围内, 能扩增出条带基本相同的清晰谱带;  $Mg^{2+}$  为 2.0 $mmol \cdot L^{-1}$ 左右时扩增条带较清晰且数量多;引物介于 $0.48 \sim 0.64 \mu mol \cdot L^{-1}$ 均能扩增出带型基本保持一致且清晰 的谱带; Taq DNA 聚合酶在 0.50~2.00 U 范围内可以得到清晰的带型. 根据正交试验设计 16 个处理的得分, 确定优 化的反应体系为:模板 DNA 30 ng、dNTPs 0. 125 mmol·L<sup>-1</sup>、Mg<sup>2+</sup> 2. 25 mmol·L<sup>-1</sup>、引物 0. 48 μmol·L<sup>-1</sup>、Taq DNA 聚合酶 0.75 U,反应总体积 25 μL.

关键词: 苦楝; SRAP-PCR; 体系优化; 正交试验设计

中图分类号: S792. 33

文献标志码:A

文章编号:1001-411X(2015)03-0104-05

## Establishment and optimization of SRAP-PCR system in *Melia azedarach*

CHEN Lijun<sup>1,2</sup>, LIU Mingqian<sup>1</sup>, LIAO Boyong<sup>1</sup>, DENG Xiaomei<sup>1</sup>, CHEN Xiaoyang<sup>1</sup> (1 Guangdong Key Laboratory for Innovative Development and Utilization of Forest Plant Germplasm/College of Forestry, South China Agricultural University, Guangzhou 510642, China; 2 Center for Teaching and Research Base, South China Agricultural University, Guangzhou 510642, China)

Abstract: [Objective] In order to study the genetic diversity and evaluate the germplasm resources of Melia azedarach using SRAP markers, the concentration of DNA template, dNTPs, Mg2+, primer and Taq polymerase were tested to determine their optimal levels and establish the optimal SRAP reaction system in M. azedarach. [Method] Five factors, each with 8 concentration levels, were conducted to screen their feasible concentration range using single factor experiment, and then the orthogonal experiment L16(4<sup>5</sup>) was carried out and the optimized system was determined. [Result and conclusion] The concentration range of DNA template was wider in SRAP system in M. azedarach. When the concentration of dNTPs ranged from 0.1 to 0.2 mmol · L<sup>-1</sup>, the bands were steady; when the concentration of Mg<sup>2+</sup> was around 2. 0 mmol · L<sup>-1</sup>, more bands were amplified and clear. The band type was consistent and clear when the primer concentration ranged from 0.48 to 0.64 µmol·L<sup>-1</sup>. When the Taq polymerase ranged from 0.50 to 2.00 U, more bands were amplified and clear. The optimum SRAP-PCR system was established on the basis of orthogonal experiment, which was DNA template 30 ng, dNTPs 0.125 mmol·L<sup>-1</sup>, Mg<sup>2+</sup> 2.25 mmol · L<sup>-1</sup>, primers 0.48 μmol · L<sup>-1</sup>, and Taq DNA polymerase 0.75 U in the 25 μL reaction system.

优先出版时间:2015-04-14

优先出版网址; http://www.cnki.net/kcms/detail/44.1110.s.20150414.0939.016.html

作者简介:陈丽君(1989—),女,硕士, E-mail;chenlijun0311@163.com;通信作者:陈晓阳(1958—),男,教授,博士,E-mail; xychen@ scau. edu. cn

基金项目:广东省林业科技创新项目(2011KJCX002)

http://xuebao.scau.edu.cn

Key words: Melia azedarach; SRAP-PCR; optimization; orthogonal design

苦楝 Melia azedarach 又名翠树、楝树、紫花树、森 树等,为楝科楝属落叶乔木,分布于中国、韩国、日 本、印度、斯里兰卡、印度尼西亚和澳大利亚等地,欧 洲、美洲也有栽培[1]. 苦楝在我国分布广泛,水平分 布为北纬 18°~40°, 南至海南省崖县, 北到河北保定 和山西运城、陕西渭南、陇南地区,东至台湾、沿海各 省,西到四川、云南保山[2]. 它生长速度快、木材材质 优良、纹理美丽,易加工,可用于家具、建筑、农具、船 舶、乐器制作等方面,木材抗白蚁、抗虫蛀、耐腐. 苦 楝耐烟尘,能大量吸收有毒有害气体,是优良的城市 及工矿区绿化树种,也是我国南方四旁绿化常用树 种[34]. 苦楝的根、皮、花、果均可入药,也可作为植物 源农药[5]. 遗传多样性是生物多样性的重要组成部 分, SRAP (Sequence-related amplified polymorphism, 相关序列扩增多态性)结合了 AFLP 及 RAPD 各自的 优点,方便快速,只需要极少量 DNA 材料,且不需要 预先知道 DNA 序列信息,即可快速获得大量的信 息,试验结果稳定可靠,且再现性较高,重复性较 好[6-7]. 目前为止,国内对于苦楝的遗传多样性分析, 鲜见开展过 SRAP 的研究. 本试验采用单因素和正交 试验设计从 DNA、dNTPs、Mg2+、引物和 TaqDNA 聚 合酶 5 个组分浓度对苦楝 SRAP-PCR 反应体系进行 优化,旨在寻找一种高效、快速、经济的试验方法,建 立适合苦楝的 SRAP-PCR 反应体系,为进一步应用 SRAP 技术对苦楝群体遗传多样性、种质资源鉴定等 研究提供参考[7].

## 1 材料与方法

### 1.1 材料

苦楝幼叶于 2013 年 7 月取自华南农业大学苗圃,随用随采,用于苦楝基因组 DNA 的提取,采集叶片分别为海南三亚、广东兴宁、广西梧州、福建建瓯、江西南昌、安徽利辛、陕西蒲城、河北邯郸种源. 所用正向引物序列为 Me19(TGAGTCCAAACCGGTTG)和 Me27(TGGGGACAACCGGCTT),反向引物序列为 Em2(GACTGCGTACGAATTTGC)、Em4(GACTGCGTACGAATTTGA)和 Em5(GACTGCGTACGAATTAAC).

### 1.2 主要试剂和仪器

用于 SRAP-PCR 反应的 *Taq* 酶、dNTPs、Mg<sup>2+</sup> 为 TaKaRa 公司产品,引物由北京华大基因研究中心合成,PCR 反应在东胜创新生物技术有限公司的 PCR 扩增仪上进行,DNA 浓度和纯度使用超微量紫外分

光光度计(Thermo Nanodrop 2000)检测.

## 1.3 基因组 DNA 的提取

苦棟基因组 DNA 提取参照上海生工生物工程有限公司柱式基因组 DNA 提取试剂盒说明书进行. 所提取的基因组 DNA 用 8 g·L<sup>-1</sup>琼脂糖凝胶电泳检测品质,并采用超微量紫外分光光度计检测 DNA 的浓度和纯度,然后将 DNA 稀释至 50 ng· $\mu$ L<sup>-1</sup>,置于 -20 ℃条件下保存备用.

## 1.4 PCR 扩增

SRAP-PCR 反应程序为: 94 ℃ 预变性 5 min;94 ℃变性 1 min,35 ℃复性 1 min,72 ℃延伸 1 min,5 个循环;94 ℃变性 1 min,50 ℃复性 1 min,72 ℃延伸 1 min,30 个循环;72 ℃延伸 10 min. 扩增产物采用 20 g · L <sup>-1</sup>的琼脂糖凝胶电泳,电泳后在自动凝胶图像分析仪上拍照分析.

### 1.5 PCR 反应体系单因素分析

对影响苦楝 SRAP-PCR 反应的主要因素 ( 模板 DNA 、dNTPs 、Mg<sup>2+</sup>、引物和 Taq 酶 ) 进行单因子试验. 对各影响因子分别设置 8 个梯度处理 : 模板 DNA 为 0、10、20、30、40、50、60 和 70 ng; dNTPs 为 0、0.05、0.10、0.15、0.20、0.25、0.30 和 0.35 mmol·L<sup>-1</sup>; Mg<sup>2+</sup>为 0、1.0、1.5、2.0、2.5、3.0、3.5 和 4.0 mmol·L<sup>-1</sup>; 引物为 0、0.16、0.24、0.32、0.40、0.48、0.56 和 0.64  $\mu$ mol·L<sup>-1</sup>; Taq DNA 聚合酶为 0、0.50、0.75、1.00、1.25、1.50、1.75 和 2.00 U.

## 1.6 PCR 反应体系的正交试验

在对影响苦楝 SRAP-PCR 反应的模板 DNA、dNTPs、Mg<sup>2+</sup>、引物和 Taq 酶进行单因子试验后采用 L16(4<sup>5</sup>)正交试验设计,共 16 个处理,每个处理设 2 个重复,各因素水平见表 1. 根据电泳条带的多少、清晰度及背景颜色进行打分. 最优的得 5 分,最差的得 1 分,并计算每个因素在不同水平下的平均得分<sup>[8]</sup>.

## 2 结果与分析

### 2.1 单因素试验分析

以 SRAP-PCR 反应产物电泳得到的条带数目较多且清晰为筛选原则,对反应体系中起主要作用的 5 个因素进行单因素浓度梯度筛选试验  $[^{9-12}]$ ,每个因素设置 8 个浓度梯度. 试验结果表明:在 25  $\mu$ L 反应体系中,模板 DNA 为 25 ~ 40 ng、dNTPs 为 0.125 ~ 0.200 mmol·L<sup>-1</sup>、 $Mg^{2+}$  为 1.75 ~ 2.25 mmol·L<sup>-1</sup>、引物为 0.40 ~ 0.52  $\mu$ mol·L<sup>-1</sup>、Taq DNA 聚合酶为

http://xuebao.scau.edu.cn

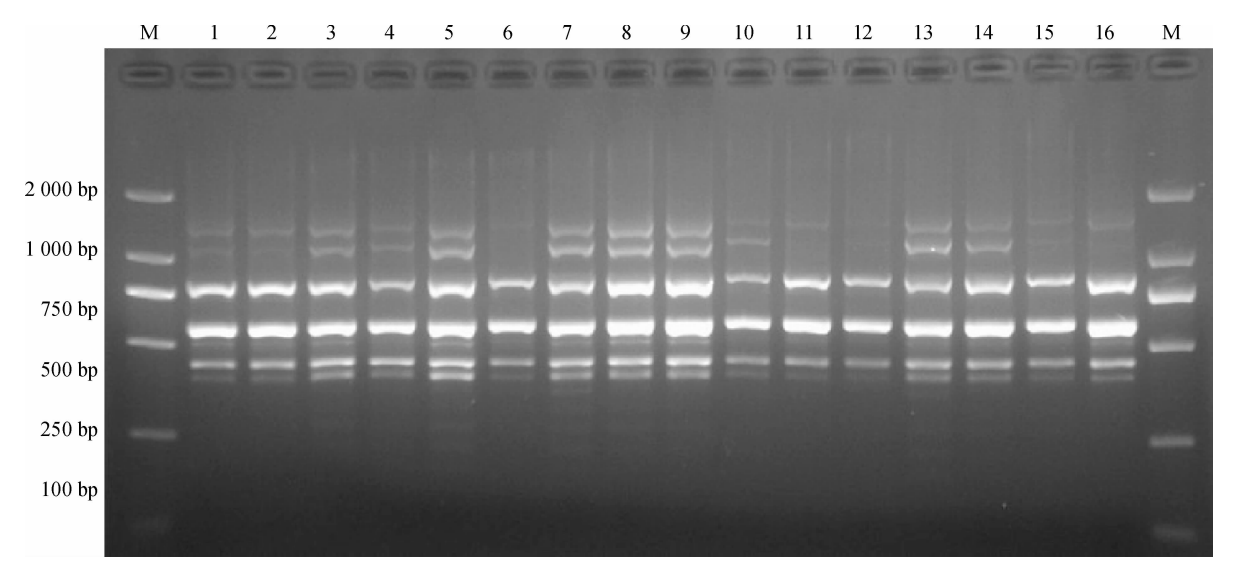
0.50~1.25 U时扩增效果好,条带较多且清晰,故将 其选为后续正交试验的适宜浓度范围.

## 2.2 苦楝 SRAP-PCR 正交反应体系的优化

以上述单因素试验确定的各因素适宜浓度范围 为基础,采用 L 16(4<sup>5</sup>)正交设计对 SRAP-PCR 反应 体系进行优化(表1),并根据电泳条带的多少、清晰 度及背景颜色(图1)对 16 个处理进行打分,打分结 果如表 1 所示,从 2 次的得分来看,重复间差异不大,试验的一致性较好,其中处理5、处理7、处理8 和处理 9 效果较好,评分均为 4 分,而处理 15 效果不好,评分仅为 1.0 分. 从图 2 可见,模板 DNA 30 ng、dNTPs 0.125 mmol·L<sup>-1</sup>、 $Mg^{2+}$  2.25 mmol·L<sup>-1</sup>、引物 0.48  $\mu$ mol·L<sup>-1</sup>、Taq DNA 聚合酶 0.75 U、反应总体积 25  $\mu$ L 时得分较高,实现最佳扩增,确定为最优组合.

表 1 SRAP-PCR 正交试验设计 L  $16(4^5)$  及试验结果 Tab. 1 L  $16(4^5)$  Orthogonal designs and results of SRAP-PCR reaction

处理号	m(模板 DNA)/	c(dNTPs)/	c(Mg <sup>2+</sup> )/	c(引物)/	Taq 酶/	須八1	得分 2	平均得分
	ng	$(\text{mmol}\boldsymbol{\cdot}L^{-1})$	$(mmol\boldsymbol{\cdot}L^{-1})$	$(\;\mu mol\;\boldsymbol{\cdot}\;L^{\;-1})$	U	得分1		
1	25	0. 125	1.75	0.40	0.50	2	2	2.0
2	25	0.150	2.00	0.44	0.75	2	2	2.0
3	25	0.175	2. 25	0.48	1.00	4	2	3.0
4	25	0.200	2.50	0.52	1.25	3	3	3.0
5	30	0. 125	2.00	0.48	1.25	5	3	4.0
6	30	0.150	1.75	0.52	1.00	1	3	2.0
7	30	0.175	2.50	0.40	0.75	4	4	4.0
8	30	0.200	2. 25	0.44	0.50	5	3	4.0
9	35	0.125	2. 25	0.52	0.75	5	3	4.0
10	35	0.150	2.50	0.48	0.50	2	4	3.0
11	35	0.175	1.75	0.44	1.25	1	4	2.5
12	35	0.200	2.00	0.40	1.00	1	2	1.5
13	40	0.125	2.50	0.44	1.00	3	3	3.0
14	40	0.150	2. 25	0.40	1.25	3	3	3.0
15	40	0.175	2.00	0.52	0.50	1	1	1.0
16	40	0.200	1.75	0.48	0.75	2	2	2.0



M:DNA maker DL2000;1~16:处理1~16(陕西蒲城种源).

图 1 SRAP-PCR 反应体系正交试验结果

Fig. 1  $\,$  Amplified patterns of the SRAP-PCR based on orthogonal design

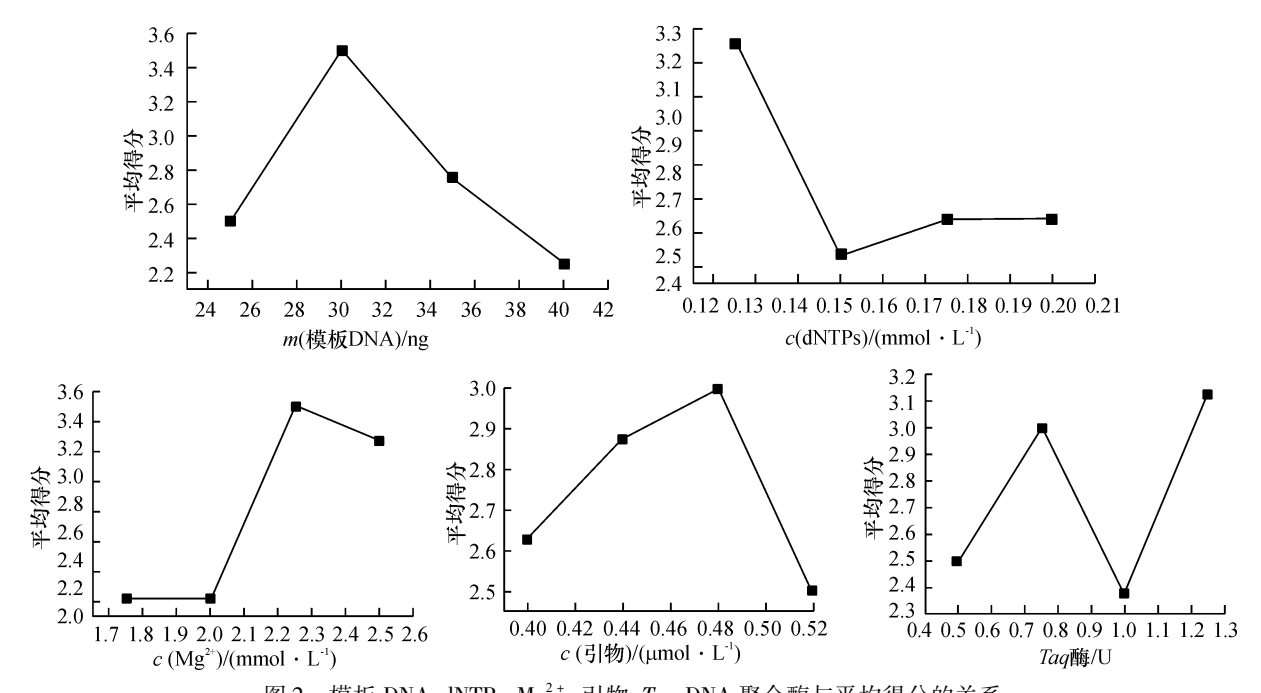


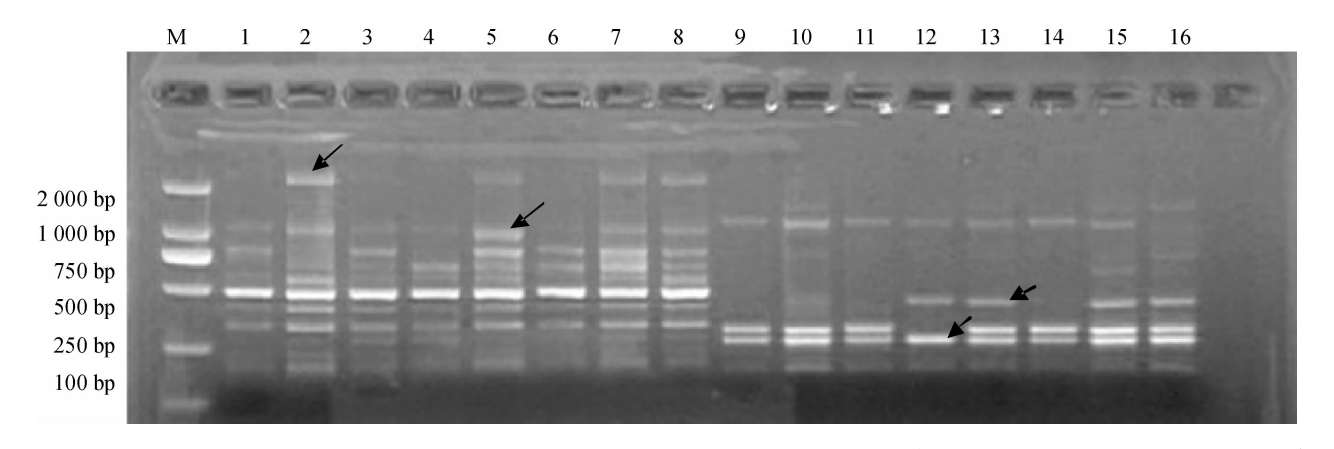
图 2 模板 DNA、dNTPs、Mg<sup>2+</sup>、引物、Taq DNA 聚合酶与平均得分的关系

Fig. 2 Relationship between concentrations and mean scores of template DNA, dNTPs, Mg<sup>2+</sup>, primer and Taq polymerase

## 2.3 苦楝 SRAP-PCR 反应体系稳定性的检测

为了验证体系的准确性,以来自海南三亚、广东兴宁、广西梧州、福建建瓯、江西南昌、安徽利辛、陕西蒲城、河北邯郸的8个苦楝种源DNA为模板,选取引物Me27/Em2、Me27/Em4进行SRAP-PCR验

证,其结果如图 3 所示,每个种源对每个引物均有清晰的条带,且不同种源间条带有差异.由此可见,本试验建立的 SRAP-PCR 体系稳定可靠,适用于苦楝后续的 SRAP 分析.



M:DNA maker DL2000;1~8:引物 Me27/Em2;9~16:引物 Me27/Em4;自1 和9开始,从左到右依次为海南三亚、广东兴宁、广西梧州、福建建瓯、江西南昌、安徽利辛、陕西蒲城、河北邯郸种源 DNA.

## 图 3 SRAP-PCR 反应体系稳定性检测

Fig. 3 The verification of Melia azedarach SRAP-PCR reaction system

## 3 结论

本试验建立并优化了适应苦楝 SRAP-PCR 的反应体系,前期对苦楝模板 DNA、 $Mg^{2+}$ 、引物和 Taq 酶进行单因子试验,研究发现,SRAP 对苦楝 DNA 浓度的要求不高,有一个较宽的浓度适宜范围,在 25  $\mu$ L 体系中,模板 DNA 为 10 ~ 70 ng 时都扩增出了

较清晰、带型基本相同的谱带;dNTPs 设计的 8 个浓度梯度中, $0.1 \sim 0.2 \, \text{mmol} \cdot \text{L}^{-1}$ 范围内能扩增出清晰谱带,且条带基本相同,浓度低于  $0.1 \, \text{mmol} \cdot \text{L}^{-1}$ 时,扩增条带弥散,高于  $0.2 \, \text{mmol} \cdot \text{L}^{-1}$ 时,出现条带丢失的现象; $Mg^{2+}$ 为  $2.00 \, \text{mmol} \cdot \text{L}^{-1}$ 左右时扩增条带较清晰且数量多;引物介于  $0.48 \sim 0.64 \, \mu \text{mol} \cdot \text{L}^{-1}$ 之间均能产生较为清晰的条带,且带型基本上http://xuebao.scau.edu.cn

保持一致,条带数并没有随着浓度的增加而增加; Tag DNA 聚合酶用量在 0.50~2.0 U 范围内均可以 得到清晰的带型,对其用量要求不高.进一步对苦楝 SRAP-PCR 的反应体系进行正交试验,并根据电泳 条带的多少、清晰度及背景颜色对16个处理进行打 分,从2次的得分来看,重复间差异不大,试验的一 致性较好,其中处理5、处理7、处理8和处理9效果 较好,评分均为4.0分,而处理15效果不好,评分仅 为 1.0 分. 根据得分可知,在 25 μL 反应体系中,当 模板 DNA 30 ng、dNTPs 0.125 mmol·L<sup>-1</sup>、Mg<sup>2+</sup> 2. 25 mmol·L<sup>-1</sup>、引物 0. 48 μmol·L<sup>-1</sup>、Taq DNA 聚 合酶 0.75 U时,实现最佳扩增,确定为最优组合.以 来自海南三亚、广东兴宁、广西梧州、福建建瓯、江西 南昌、安徽利辛、陕西蒲城、河北邯郸的8个苦楝种 源 DNA 为模板,选取引物 Me27/Em2、Me27/Em4 进 行 SRAP-PCR 反应体系稳定性验证,结果表明,筛选 体系能很好地满足苦楝基因组 SRAP-PCR 扩增的要 求且不同种源间条带有差异.

## 参考文献:

- [1] 杨湘. 不同种群苦楝中苦楝素含量变化规律研究 [D]. 南京: 南京林业大学, 2011.
- [2] 程诗明. 苦棟聚合群体遗传多样性研究与核心种质构建[D]. 北京: 中国林业科学研究院, 2005.
- [3] 刘丽云. 苦楝栽培技术及应用价值[J]. 北方园艺,

- 2009 (9): 144-145.
- [4] 曾东东. 家具用苦棟集成材的研究[D]. 南京: 南京 林业大学, 2011.
- [5] 程诗明, 顾万春. 苦楝遗传资源学研究进展及其展望[J]. 浙江林业科技, 2007, 27(2): 64-69.
- [6] 董星光, 樊丽, 王志刚, 等. 梨 SRAP 体系的正交优 化研究[J]. 江苏农业科学, 2009 (2): 51-53.
- [7] 张晓蕾, 张凯旋, 杨传平, 等. 白桦 SRAP 反应体系的建立与优化[J]. 东北林业大学学报, 2010, 38 (9): 1-3.
- [8] 刘明泰, 李杨, 刘小林, 等. 皱纹盘鲍 SRAP 反应体系的正交优化[J]. 大连海洋大学学报, 2013, 28 (1): 12-16.
- [9] 闫建勋, 刘念, 黄邦海. 姜黄属 SRAP 反应体系的优化与建立[J]. 广东农业科学, 2011, 38(1): 152-154.
- [10] 高亚卉, 朱广龙, 姬志峰, 等. 太行菊 SRAP-PCR 反应体系的建立与优化[J]. 实验室科学, 2012, 15 (1): 81-84.
- [11] 井赵斌, 俞靓, 魏琳, 等. 本氏针茅 SRAP—PCR 反应 体系的建立及引物筛选[J]. 草业科学, 2012, 29 (2): 219-228.
- [12] 尹德洁, 苏淑钗, 刘肖, 等. 蓝莓 SRAP—PCR 反应体系的建立优化及引物筛选[J]. 东北林业大学学报, 2013, 41(2): 35-39.

【责任编辑 李晓卉】